

Eichtheorien

Holger Gies

Vorlesungsmaterialien

TP I

FSU Jena

0. Physikalische Wurzeln von Eichtheorien

- die Klassifizierung von Baryon - Resonanzen und das Meson Spektrum lieferte einen starken Hinweis auf die Existenz von Quarks als zugrunde liegende Bausteine der Hadronen:

Quantenzahlen: Spin $\frac{1}{2}$

Flavor	u	c	t	$+ \frac{2}{3} e$ Ladung
d	s	b	$- \frac{1}{3} e$	

die Entdeckung der Spin $\frac{3}{2}$ - Resonanzen

$$|\Delta^{++}\rangle = |u\uparrow\rangle |u\uparrow\rangle |u\uparrow\rangle$$

$$|\Sigma^-\rangle = |s\uparrow\rangle |s\uparrow\rangle |s\uparrow\rangle$$

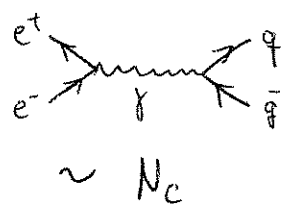
$$|\Delta^-\rangle = |d\uparrow\rangle |d\uparrow\rangle |d\uparrow\rangle$$

schien im Widerspruch mit dem Pauli - Prinzip, da die Antisymmetrie des RHS = 0 liefert.

\Rightarrow es muß eine weitere Quantenzahl geben, bezüglich der die Wellenfunktion antisymmetrisch werden kann \Rightarrow "Farbe"

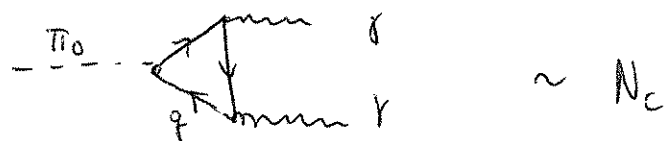
- Verzweigungsverhältnis

$$R = \frac{\sigma(e^+e^- \rightarrow \bar{q}q)}{\sigma(e^+e^- \rightarrow \bar{p}^+\bar{p}^-)}$$



ist proportional zur Dimension der Darstellung dieser Quantenzahl, also "Zahl der Farben"

- ähnlich : $\bar{D}_0 \rightarrow f + \gamma$



Experiment : $N_c = 3$

\Rightarrow Quark Wellenfunktion $\Psi_f^i(x)$, $f = u, d, s, c, b, t$
 $i = 1, 2, 3$

1 Grundlagen für Eichtheorien

Obige Befunde legen nahe, daß zumindest eine globale Symmetrie existieren sollte, bezüglich der Farbtransformationen der Quarks durchgeführt werden können

$$\psi'^i = U^{ji} \psi^j$$

Entscheidend für die Dynamik ist die weitreichende Annahme, dass die Farbtransformationen eines lokalen Symmetriegruppe entsprechen:

$$\psi'^i(x) = U^{ji}(x) \psi^j(x) \quad (1.1)$$

mit $U(x) \in \text{SU}(N_c)$

Die lokale Eigenschaft der Symmetrie lässt sich aus obigen kinematischen Überlegungen nicht ablesen. Sie kann nur durch den Vergleich der Dynamik in Theorie und Experiment verifiziert werden.

1.1 Elemente der Theorie der Lie-Gruppen und Lie-Algebren

Wir betrachten $N_c \times N_c$ Matrizen U mit den Eigenschaften

$$\begin{aligned} U^+ U &= 1 \\ \det U &= 1 ; \end{aligned} \tag{1.2}$$

also eine Darstellung des $SU(N_c)$.

Die Exponentialabbildung

$$U = e^{iH} \tag{1.3}$$

parametrisiert U mit Hilfe einer hermitischen Matrix ($N_c \times N_c$) $H = H^\dagger$, so dass $U^+ U = (e^{iH})^\dagger (e^{iH}) = e^{-iH^\dagger} e^{iH} = e^{-iH} e^{iH} = 1$

$$\Rightarrow \# \text{ reellen Parameter von } U: N_c^2 - 1 \quad \stackrel{\uparrow}{\text{det } U = 1} \tag{1.4}$$

\Rightarrow Die Gruppe kann durch $N_c^2 - 1$ linear unabhängige $N_c \times N_c$ hermitische Matrizen erzeugt werden:

$$U = e^{-i w^a T^a} \quad (1.5)$$

T_{ii}^a : Generatoren der $SU(N_c)$
 $i,j = 1 \dots N_c$
 $a = 1 \dots N_c^2 - 1$

Wegen $1 = \det U = \det e^{-i w^a T^a} = e^{-i w^a \text{tr } T^a}$
können die T_{ii}^a Spurfrei gewählt werden, $\text{tr } T^a = 0$

Für den Kommutator $[T^a, T^b]$ gilt:

$$\text{Spurfrei } \text{tr} [T^a, T^b] = \text{tr}(T^a T^b - T^b T^a) \stackrel{\text{cyd.}}{=} 0 \quad (1.6)$$

$$\text{anti-hermitisch } [T^a, T^b]^+ = [T^{b+}, T^{a+}] = [T^b, T^a] = -[T^a, T^b]$$

$$\text{d.h. } [T^a, T^b] = i h \text{ mit } h \text{ hermitisch.}$$

Da h wieder durch T^a aufgespannt werden kann, muß gelten:

$$[T^a, T^b] = i f^{abc} T^c \quad (1.7)$$

mit den Entwicklyskoeff. = Strukturkonstanten f^{abc} .

Eq. (1.7) definiert die $\text{su}(N_c)$ Lie-Algebra

Übliche Normierung der τ^a :

$$\text{tr } \tau^a \tau^b = \frac{1}{2} \delta^{ab} \quad (1.7)$$

Beispiel:

$$N_c=2: \quad \tau^a = \frac{1}{2} \sigma^a \quad (\text{Pauli Matrizen})$$

$$\Rightarrow [\tau^a, \tau^b] = \frac{1}{4} [\sigma^a, \sigma^b] = \frac{1}{4} \cdot 2i \epsilon^{abc} \sigma^c \\ = i \epsilon^{abc} \tau^c \quad (1.8)$$

mit ϵ^{abc} , dem total antisym. Tensor.

$$N_c=3: \quad N_c^2 - 1 = 8$$

$$\tau^a = \frac{1}{2} \lambda^a$$

$$\lambda^1 = \begin{pmatrix} 0 & 1 & 0 \\ 1 & 0 & 0 \\ 0 & 0 & 0 \end{pmatrix}, \quad \lambda^2 = \begin{pmatrix} 0 & -i & 0 \\ i & 0 & 0 \\ 0 & 0 & 0 \end{pmatrix}, \quad \lambda^3 = \begin{pmatrix} 1 & 0 & 0 \\ 0 & -1 & 0 \\ 0 & 0 & 0 \end{pmatrix}$$

$$\lambda^4 = \begin{pmatrix} 0 & 0 & 1 \\ 0 & 0 & 0 \\ 1 & 0 & 0 \end{pmatrix}, \quad \lambda^5 = \begin{pmatrix} 0 & 0 & -i \\ 0 & 0 & 0 \\ i & 0 & 0 \end{pmatrix}, \quad \lambda^6 = \begin{pmatrix} 0 & 0 & 0 \\ 0 & 0 & 1 \\ 0 & 1 & 0 \end{pmatrix}, \quad \lambda^7 = \begin{pmatrix} 0 & 0 & 0 \\ 0 & 0 & -i \\ 0 & i & 0 \end{pmatrix}$$

$$\lambda^8 = \frac{1}{\sqrt{3}} \begin{pmatrix} 1 & 0 & 0 \\ 0 & 1 & 0 \\ 0 & 0 & 2 \end{pmatrix}, \quad \text{Gell-Mann Matrizen} \quad (1.9)$$

(Konstruktion direkt verallgemeinbar auf $N_c > 3$)

$$\begin{array}{cccccccccc} f^{abc}: & 123 & 147 & 156 & 246 & 257 & 345 & 367 & 458 & 678 \\ & 1 & 1/2 & -1/2 & 1/2 & 1/2 & 1/2 & -1/2 & 6/2 & \sqrt{3}/2 \end{array}$$

(1.10)

Diese Darstellungen der $su(N_c)$ sind per constructionem irreduzibel : fundamentale Darstellung.

Aus der Jacobi - Identität für den Kommutator

$$[\tau^a, \tau^b], \tau^c] + [[\tau^b, \tau^c], \tau^a] + [[\tau^c, \tau^a], \tau^b] = 0 \quad (1.11)$$

folgt

$$f^{abd} f^{dce} + f^{bcd} f^{dae} + f^{cad} f^{dbe} = 0$$

$$\Rightarrow (-if^{bad})(if^{edc}) - \underbrace{(-if^{bcd})}_{(-if^{ead})} \underbrace{(-if^{edc})}_{(-if^{bdc})} = +i(f^{bed})(if^{dac})$$

$$\Rightarrow [(-if^b), (-if^e)]^{ac} = if^{bed} (-if^d)^{ac} \quad (1.12)$$

Es folgt, daß $(T^a)^{bc} = -if^{abc}$ ebenfalls

eine Darstellung der $su(N_c)$ Lie - Algebra ist,

und eine entsprechende Darstellung der $Sl(N_c)$

Gruppe erzeugt. Die Darstellung ist $a=1, \dots, N_c^2 - 1$

dimensional und heißt adjungierte Darstellung.

(NB: weitere Gruppen - Theorie - Elemente folgen im Laufe der Vorlesung)

1.2 Eichinvariante Wirkungen

Ein kinetischer Term für die Quarks der Form $\bar{\Psi}_{(x)}^i i\partial \Psi_{(x)}^i$ ist nicht eichinvariant, da ($\partial = g^\mu \partial_\mu$)

$$\bar{\Psi}_{(x)}^i i\partial \Psi_{(x)}^i = \bar{\Psi}_{(x)}^j U_{(x)}^{+ji} i\partial U_{(x)}^{ik} \Psi_{(x)}^k$$

$$= \bar{\Psi}_{(x)}^j i\partial \Psi_{(x)}^j + \bar{\Psi}_{(x)}^j U_{(x)}^{+ji} (i\partial U_{(x)}^{ik}) \Psi_{(x)}^k$$

Der Zusatzterm kann kompensiert werden durch (1.13)
Hinzunahme eines Eichpotentials
 \downarrow
matrix-wertigen

$$A_\mu^{ij}(x) = A_\mu^a T^a ij \quad (1.14)$$

mit einem Transformationsverhalten

$$A_\mu' = U A_\mu U^+ - \frac{i}{g} (\partial_\mu U) U^+, \quad (1.15)$$

und einer Kopplung g .

Der Term $\bar{\Psi} i\partial \Psi$ transformiert sich daher wie

$$\begin{aligned} i\bar{\Psi}' i\partial' \Psi' &= i\bar{\Psi} U^+ (ig U A_\mu U^+ + (\partial_\mu U) U^+) U \Psi \\ &= i\bar{\Psi} ig A \Psi + \underbrace{\bar{\Psi} U^+ (i\partial' U) \Psi}_{\text{vgl. (1.13)}} \end{aligned} \quad (1.16)$$

Ein eichinvarianter kinetischer Term mit
kovarianter Ableitung

$$\mathcal{D}_\mu := \partial_\mu - i g A_\mu \quad (1.17)$$

ist daher von der Form

$$\mathcal{L}_{kin} = \bar{\Psi} i \mathcal{D}_\mu \Psi \quad . \quad (1.18)$$

Die kovariante Ableitung transformiert also homogen:

$$\mathcal{D}'_\mu = U \mathcal{D}_\mu U^+ \quad . \quad (1.19)$$

Die lokale Symmetrie erzwingt also ein Eichfeld mit adjungierten Index, i.e., mit $N_c^2 - 1$ Komponenten

$$A_\mu^a(x) \quad , \quad a=1 \dots N_c^2 - 1 \quad "Gluonen"$$

Analog zur Elektrodynamik lässt sich eine Gluon Feldstärke $F_{\mu\nu} = F_{\mu\nu}^a \tau^a$ aus dem Kommutator zweier kovarianten Ableitungen konstruieren

$$[D_r, D_s] = -ig F_{rs}$$

$\boxed{\text{DA}}$

$$\Rightarrow F_{rs}^a = \partial_r A_s^a - \partial_s A_r^a + g f^{abc} A_r^b A_s^c$$
(1.20)

Damit lässt sich ein kinetischer Term für die Gluonen bilden, weil $F'_{rs} = U F_{rs} U^\dagger$:

$$\begin{aligned} \mathcal{L}_{\text{Gluon}} &= -\frac{1}{4} F_{rs}^a F^{ars} \\ &= -\frac{1}{2} \text{tr } F_{rs} F^{rs} \\ &= -\frac{1}{2} \text{tr } U^\dagger U F_{rs} U^\dagger U F^{rs} \\ &\stackrel{\text{qd.}}{=} -\frac{1}{2} \text{tr } (U F_{rs} U^\dagger) (U F^{rs} U^\dagger) = \underline{-\frac{1}{2} \text{tr } F'_{rs} F'^{rs}} \end{aligned}$$
(1.21)

Mit den Bausteinen $4, \bar{4}, D_r, F_{rs}$ lassen sich natürlich noch beliebig viele weitere eichinvariante Wirkungen konstruieren. Die dicken stellen im gewisser Hinsicht eine Minimale (nichttriviale) Kombination dar.

Unter Hinzunahme eines Massenterms für die Quarks mit Masse (bzw. Massenmatrix) m ,

ergibt sich die Wirkung der klassischen

Chromodynamik $S_{QCD} = \int d^d x \mathcal{L}_{QCD}$,

$$\mathcal{L}_{QCD} = -\frac{1}{4} F_{\mu\nu}^a F^{a\mu\nu} + \bar{\psi} i \not{D} \psi - m \bar{\psi} \psi . \quad (1.22)$$

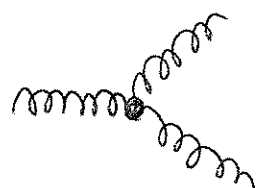
Bereits der erste Term beschreibt alline schon eine wechselwirkende Theorie,

$$\mathcal{L}_YM = -\frac{1}{4} F_{\mu\nu}^a F^{a\mu\nu}, \quad (1.23)$$

Yang-Mills -Theorie , bzw. Qluodynamik.

Die quadratischen Terme in der Feldstärke (1.20)
führen zu Wechselwirkungs termen

$$\mathcal{L}_{int} \sim \dots g (A_\mu A^\nu) A^\rho A^\sigma + \dots g^2 (A_\mu A_\nu)^2,$$



NB: Warum $SU(N_c)$ und nicht $U(N_c)$ Eichtheorie?

Läßt man die Forderung $\det U = 1$ fallen, kann U einen weiteren Phasenfreiheitsgrad haben, der von dem Generator

$$(\tau^0)_{ij} = \frac{1}{2N_c} \mathbb{1}_{ij}$$

erzeugt wird. Wegen $[\tau^0, \tau^a] = 0$, gilt

$f^{0ab} = 0$ und daher

$$\begin{aligned} \text{tr } F_{\mu\nu} F^{\mu\nu} &= \frac{1}{2} \sum_{a=0}^{N_c^2-1} F_{\mu\nu}^{a'} F^{a'\mu\nu} \\ &= \frac{1}{2} \sum_{a=1}^{N_c^2-1} F_{\mu\nu}^a F^{a\mu\nu} + \frac{1}{2} F_{\mu\nu}^0 F^{0\mu\nu} \end{aligned}$$

$$\text{mit } F_{\mu\nu}^0 = \partial_\mu A_\nu^0 - \partial_\nu A_\mu^0.$$

Das zugehörige neue Gluon A^0 ist also nicht selbst-wechselwirkend und daher ähnlich einem Photon. Bei (perturbativer) Quantisierung zerlegt sich also eine $U(N_c)$ Eichtheorie in eine $SU(N_c)$ Eichtheorie und eine abelsche $U(1)$ Eichtheorie (vgl. gruppentheoretische lokale Isomorphie $U(N_c) \simeq U(1) \times SU(N_c)$.)

1.3 Klassische YM Theorie vs. Experiment

Klassische Bewegungsgleichung, $\frac{\partial \mathcal{L}}{\partial A_r^a} = \partial_\nu \frac{\partial \mathcal{L}}{\partial (\partial_\nu A_r^a)}$

$$\boxed{\text{DA}} \quad D_r^{ab} F^{br} \equiv (\partial_r S^{ab} + g f^{abc} A_r^c) F^{br} = j^{av} \quad (1.24)$$

Wobei $j^{av} = \Gamma g \gamma^\nu \tau^a \psi$ abgeleitet aus \mathcal{L}_{QCD}

oder ein allgemeiner Quellterm $\mathcal{L}_{\text{source}} = - j^{av} A_v^a$

stimmt.

In (1.21) haben wir die kovariante Ableitung
in adjungierter Darstellung eingeführt:

$$D_r^{ab} = \partial_r S^{ab} + g f^{abc} A_r^c = (\partial_r - i g T^c A_r^c)^{ab}, \quad (1.25)$$

$$(T^c)^{ab} = - i f^{cab}, \text{ vgl. (1.12).}$$

Betrachten wir als Beispiel ein statisches Quark-Antiquark-Paar

$$\underline{f}^{a0} = Q \underline{n}^a (\delta^{(3)}(\vec{x} - \vec{x}_1) - \delta^{(3)}(\vec{x} - \vec{x}_2)) \quad (1.26)$$

↑ ↑ ↑
 Ladung Einheitsvektor im adj Farbraum $n^2 = 1$
 Position im Ortsraum

Die Bewegungsgleichung wird gelöst durch ein pseudo-abelsches Feld,

$$\underline{A}^a = n^a a_p , \quad \underline{F}_{\mu\nu}^a = n^a f_{\mu\nu} , \quad (1.27)$$

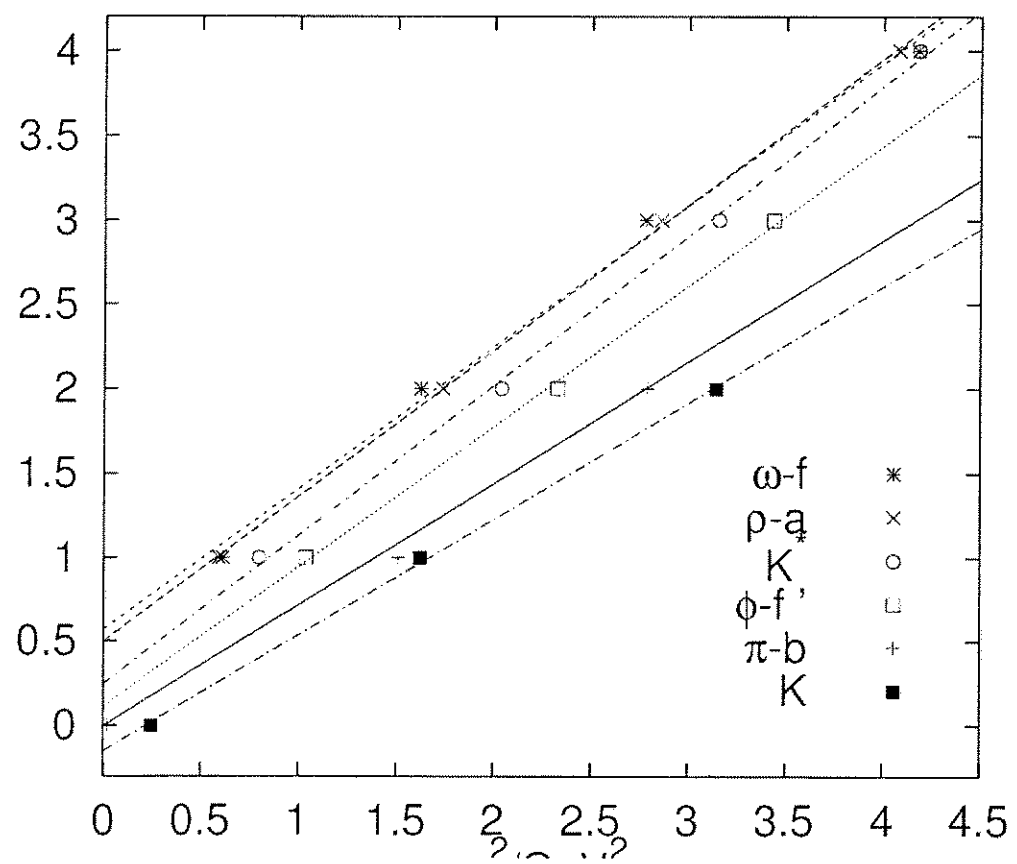
denn mit $f^{abc} n^b n^c = 0$ folgt

$$\partial_\mu \underline{F}^a = \underline{f}^{a0} n^a , \quad (1.28)$$

vgl. Elektrostatisik.

Die Lösung ist offensichtlich eine Feldverteilung mit Dipolstruktur in der n^a -Komponente des chromoelektrischen Feldes:





\Rightarrow statisches Potential $\hat{=}$ Coulomb-Potential

$$V(r) \sim \frac{1}{r}$$

Dies ist im Widerspruch zum Experiment.

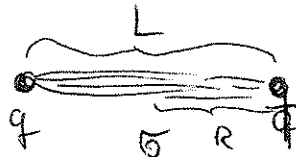
Betrachtet man z.B. mesonische Anregungen

mit höherem Spin J im Abh. von ihrem
Massenquadrat m^2 , so liegen diese

auf einer Geraden, $J \propto m^2$, "Regge Trajektorie".

Dieser Umstand kann durch folgende Annahmen beschrieben werden: (Stringmodell)

- ein Meson ist ein liniartiges Objekt mit konstanter Energie pro Länge σ



- bei höheren Spinanregungen rotieren die Quark-Enden mit nahezu Lichtgeschwindigkeit

Die Energie des Systems ist also

$$\begin{aligned} m \equiv E &= 2 \int_0^R \frac{\sigma dr}{\sqrt{1 - v^2(r)}} = 2 \int_0^R \frac{\sigma dr}{\sqrt{1 - \frac{r^2}{R^2}}} \\ &= \pi \sigma R. \end{aligned} \quad (1.29)$$

Drehimpuls:

$$\begin{aligned} J &= 2 \int_0^R \frac{\sigma r v(r) dr}{\sqrt{1 - v^2(r)}} = \frac{2}{R} \int_0^R \frac{\sigma r^2 dr}{\sqrt{1 - \frac{r^2}{R^2}}} \end{aligned}$$

$$= \frac{1}{2} \pi \sigma R^2$$

$$\Rightarrow \underline{\underline{J = \frac{m^2}{2\pi\sigma}}} \quad (1.30)$$

Dieses Modell zeigt einen linearen Zusammenhang wie im Experiment gefunden.

Experimentell findet man für die

Steigung der Regge - Trajektorien

$$\alpha' = \frac{1}{2\pi\sigma} \simeq 0.9 \text{ GeV}^{-2}$$

\Rightarrow String tension

$$\begin{aligned} \sigma &\simeq 0.18 \text{ GeV}^2 \simeq 0.9 \text{ GeV/fm} \\ &\simeq (430 \text{ MeV})^2 \end{aligned}$$

Das der kinematischen Feldverteilung zugehörige Potential ist also linear im r

$$V(r) \sim r \quad , \text{vgl. (1.29)} \quad (1.31)$$

Der kinematische „Einschluß“ des Farbfeldes und der Quarks nennt man „Confinement“

\Rightarrow klassische Chromodynamik ist also nicht ausreichend zur Beschreibung dieses Potentials.

\Rightarrow Quanteneffekte verändern QCD Vakuumstruktur qualitativ (nicht nur quantitativ!)